О. В. Новикова

(ГГУ имени Ф. Скорины, Гомель)

Науч. рук. Г. Ю. Тюменков, канд. физ.-мат. наук, доцент

КРИВЫЕ ИНВЕРСИИ ЭФФЕКТА ДЖОУЛЯ-ТОМСОНА: ЗАРЯЖЕННАЯ АНТИ-ДЕ СИТТЕРОВСКАЯ ЧЁРНАЯ ДЫРА И ЖИДКОСТЬ ДИТЕРИЧИ І

Работы Бекенстайна, Хокинга и Пэйджа [1,2] — основа термодинамики чёрных дыр. Наличие у последних электрического заряда [3] обнаружило аналогию между фазовыми диаграммами чёрных дыр и ван-дер-ваальсовской жидкости. В последнее же десятилетие акцент делается на анализ поведения чёрных дыр и реальных жидкостей [4], в рамках процесса Джоуля-Томсона [5]. В данной работе мы рассмотрим и качественно сравним джоуль-томсоновские процессы в заряженной АдС чёрной дыре и жидкости Дитеричи I.

В процессе Джоуля-Томсона вещество при энтальпии H = const из области высокого давления переходит в область более низкого давления, что сопровождается изменением его температуры. Эффект при dT < 0 — положительный, при dT > 0 — отрицательный. Производная, описывающая процесс имеет вид, где знак λ совпадает со знаком эффекта

$$\left(\frac{\partial T}{\partial P}\right)_{H} = -\frac{\lambda}{c_{P}} \left(\frac{\partial V}{\partial P}\right)_{T}, \qquad \lambda = V \left(\frac{\partial P}{\partial V}\right)_{T} + T \left(\frac{\partial P}{\partial T}\right)_{V}, \tag{1}$$

Геометрия пространства-времени заряженной AдC (анти-де ситтеровской) чёрной дыры определяется метрикой

$$ds^{2} = -f(r)dt^{2} + f^{-1}(r)dr^{2} + r^{2}d\Omega^{2},$$

где $G=\hbar=k_{\scriptscriptstyle B}=c=1,\ d\Omega^2=d\theta^2+\sin^2(\theta)d\phi^2$, а функция $f\left(r\right)$ записывается как

$$f(r) = 1 - \frac{2M}{r} + \frac{Q^2}{r^2} + \frac{r^2}{l^2}.$$
 (2)

В (2) l, M и Q – анти-де ситтеровские радиус, масса и заряд чёрной дыры. При этом радиус горизонта событий r_+ находится, как наибольший корень уравнения (2) вида $f(r_+)=0$. Масса чёрной дыры в нашем случае сопоставляется с энтальпией H [6] и имеет форму

$$M = \frac{r_{+}}{2} \left(1 + \frac{Q^{2}}{r_{+}^{2}} + \frac{r_{+}^{2}}{l^{2}} \right). \tag{3}$$

Вышесказанное приводит к уравнению состояния (УС) P = P(V, T; Q):

$$P = \frac{T}{2r_{+}} - \frac{1}{8\pi r_{+}^{2}} + \frac{Q^{2}}{8\pi r_{+}^{4}}, \qquad r_{+} = \left(\frac{3V}{4\pi}\right)^{\frac{1}{3}},$$

которое вместе с (1) задаёт семейство кривых инверсии, параметризованное зарядом Q, а области положительного и отрицательного эффекта соответствуют знаку λ , но в этом случае их удобнее определять на основе поведения изоэнтальпических кривых (3)

$$T_{i} = \frac{\sqrt{P_{i}}}{\sqrt{2\pi}} \frac{\left(1 + 16\pi P_{i}Q^{2} - \sqrt{1 + 24\pi P_{i}Q^{2}}\right)}{\left(-1 + \sqrt{1 + 24\pi P_{i}Q^{2}}\right)^{\frac{3}{2}}}.$$
 (4)

На рисунке 1 показаны: семейство кривых инверсии для разных значений заряда Q (a); зоны охлаждения и нагревания с изоэнтальпическими кривыми (б).

У жидкости Дитеричи I УС с $\upsilon = V/N$, где N – число частиц, записывается как

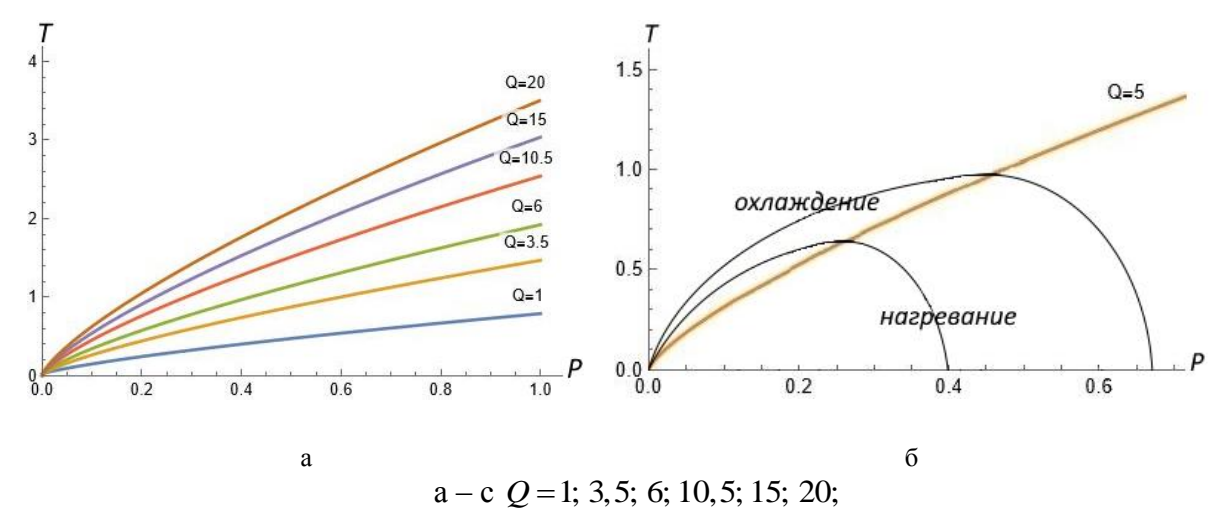
$$P = \frac{k_B T}{v - b} \exp\left(-\frac{a}{k_B T v}\right). \tag{5}$$

УС (5) и определение (1) дают явный вид параметра процесса

$$\lambda = \frac{1}{v - b} \exp \left(-\frac{a}{k_B T v} \right) \left[k_B T + \frac{2a}{v} - \frac{k_B T v}{v - b} \right],$$

который при условии инверсии $\lambda = 0$ и $T = T_i$ приводит к связи

$$k_B T_i + \frac{2a}{v} - \frac{k_B T_i v}{v - b} = 0.$$
 (6)



 $6-c\ \mathit{Q}=5$, областями охлаждения и нагревания и изоэнтальпическими кривыми

Рисунок 1 — Кривые инверсии заряженной АдС чёрной дыры ($a=b=k_{\scriptscriptstyle B}=1$, следуя [4])

Использование (6) в (5) позволяет получить формулу для кривой инверсии

$$P = \frac{1}{b} \left(\frac{2a}{b} - k_B T_i \right) \exp \left[\frac{1}{2} - \frac{a}{b k_B T_i} \right],$$

которая представлена на рисунке 2 (a) с указанием областей охлаждения и нагревания, очевидных из условия $\lambda_{T \to \infty} < 0$. Полагалось также, следуя [4], что $k_{\scriptscriptstyle B} = a = b = 1$.

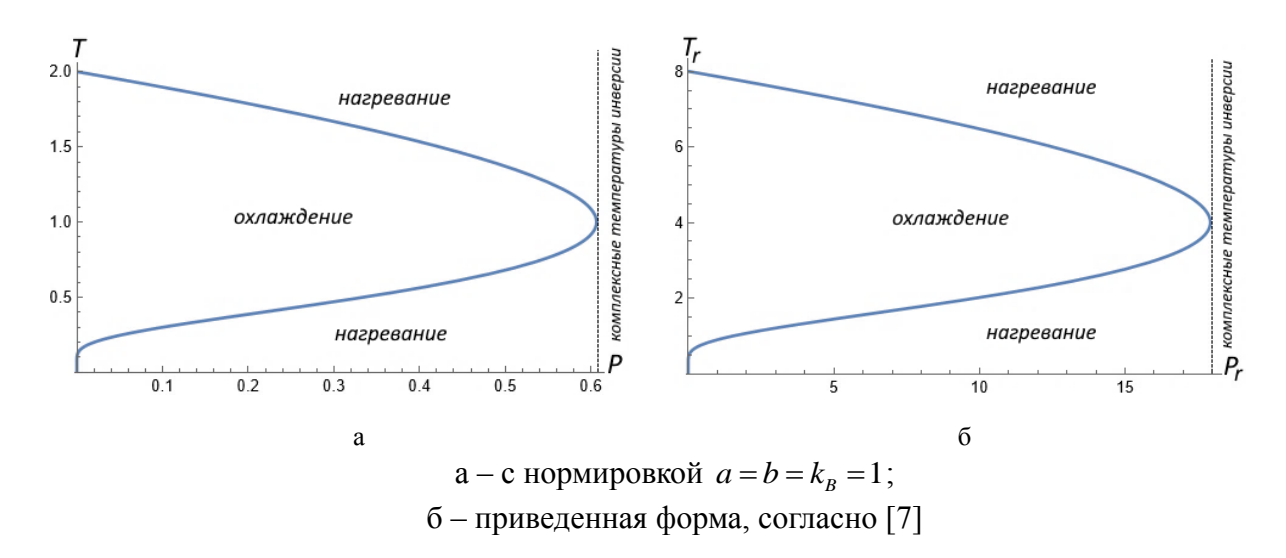


Рисунок 2 – Кривая инверсии для жидкости Дитеричи I

Ранее в работе [7] была получена кривая инверсии для первого уравнения Дитеричи в терминах приведенных переменных, изображённая на рисунке 2 (б). В этом случае

$$P_r = (8 - T_{r,i}) \exp \left[\frac{5}{2} - \frac{4}{T_{r,i}} \right].$$

Ранее в работе [7] была получена кривая инверсии для первого уравнения Дитеричи в терминах приведенных переменных, изображённая на рисунке 2 (б). В этом случае

$$P_r = (8 - T_{r,i}) \exp\left[\frac{5}{2} - \frac{4}{T_{r,i}}\right].$$

Полученные в работе кривые инверсии позволяют сделать только качественные оценки схожести поведения исследуемых объектов из-за специального масштабирования шкал, например $a=b=k_B=1$, согласно [4]. Однако видно, что области положительного эффекта имеют при определённых значениях Q существенные участки перекрытия, что говорит об аналогии не только между фазовыми диаграммами чёрных дыр и ван-дерваальсовской жидкости [3], но и между поведением заряженных АдС чёрных дыр и жидкостей Дитеричи I в процессе джоуль-томсоновского расширения.

Литература

- 1. Bekenstein, J. D. Black holes and the second law / J. D. Bekenstein // Lett. Nuovo Cimento. -1972. -V. 4. -P. 737-740.
- 2. Hawking, S. W. Thermodynamics of black holes in anti-de Sitter space / S. W. Hawking, D. N. Page // Commun. Math. Phys. 1983. V. 87. P. 577–588.
- 3. Charged AdS Black Holes and Catastrophic Holography / A. Chamblin, R. Emparan, C. V. Johnson, R. C. Myers // Phys. Rev. D. 1999. V. 60. P. 064018.
- 4. Ökcü, Ö. Joule-Thomson expansion of the charged AdS black holes / Ö. Ökcü, E. Aydıner // Eur. Phys. J. C. -2017. V. 77. Art. N. 24. P. 1-7.
- 5. Румер, Ю. Б. Термодинамика, статистическая физика и кинетика / Ю. Б. Румер, М. Ш. Рывкин. Новосибирск : НГУ, 2000. 608 с.
- 6. Kastor, D. Enthalpy and the Mechanics of AdS Black Holes / D. Kastor, S. Ray, J. Traschen // Class. Quantum Gravity. 2009. V.26. P. 195011.

7. Скачёк, Т. В. Об эффекте Джоуля-Томсона в газах Бертло и Дитеричи-I / Т. В. Скачёк, С. В. Станкевич, Γ . Ю. Тюменков // Известия Гомельского государственного университета имени Ф. Скорины. – 2009. – № 4(55). – Ч. 2. – С. 184–187.